

(HUANJING KEXUE)

ENVIRONMENTAL SCIENCE

第35卷 第9期

Vol.35 No.9

2014

中国科学院生态环境研究中心 主办

斜学出版社出版



ENVIRONMENTAL SCIENCE

第35卷 第9期 2014年9月15日

目 次

长江三角洲地区霾判别方法的对比分析	0.)
长江二用初地区建刊加力法的对比分别	9)
1980~2012 年江苏省城市霾日的时空分布及成因分析 刘端阳,魏建苏,严文莲,吕军,孙燕(324'	7)
万里关大气二氧化碳和甲烷时间变化特征	6)
上海地区 DM 由方扣陽和三字牌亦作性在及中海公托 业龄化 工方士 封集數 鬼鬼棍 本根 即工本 从连续 (200	2)
上海城区 FM ₂ 5 中有机城州九条城交 化特性及木脉力机	3)
亚青会期间南京市气溶胶中 OC 和 EC 的粒径分布 ····································	1)
无锡市冬季典型天气 PM. 中碳组分的污染特征 ············ 云龙龙 陆钒 张天舒 伍德侠 感世杰 陆亦怀 刘建国(328)	0)
市的体研工生如晒影物 DM 排放电热人工 艺育有 对亚丽 对头户 恋似的 互熟更 工程电 工工 第 (200	7)
高炉炼铁工艺细颗粒物 PM _{2.5} 排放特性分析 范真真,赵亚丽,赵浩宁,梁兴印,孙静雯,王保贵,王亚军(328)	1)
重庆市北碚城区大气中 VOCs 组成特征研究 祁心,郝庆菊,吉东生,张军科,刘子锐,胡波,王跃思,江长胜(329)	3)
双组分 VOCs 的催化氧化及动力学分析	2)
海东排进却细微岭粉冰府再经汉源性红的守卧研究	<u>-</u> /
八干排放超细域性数体及及性性值付性的关系切开。	9)
疏勒河上游地表水水化学主离子特征及其控制因素	5)
"加公民以源扎脚"业中面高手扩展会系统的数据法担托通导。 医毛虻 医绝孔 乌奶斑 曾语利 电吹顺 维护 印海(220)	£ \
十江河南湖的乃甘江海河口五人居穴间入左乃污氿河及	<i>(</i>)
人过何恐怕权及共进两何口里並属至间分争及行案计划	0)
一种加岸区仍快物-小乔面昌介温及气态氮的样放过佳和通量	6)
北京奧林匹克公园地表颗粒物粒度特征分析 李海燕,石安邦,瞿杨晟,岳靖淋(335)	2)
黄河丰巨河和柳山米一岭蓝龙夕复晚至水亚公东	0)
奥西农区仍然物中天一幅天夕敦软本外干万和	0)
合肥城郊典型源头溪流不同渠迫形态的氮磷滞留特值 李如忠, 杨继伟, 钱靖, 童玉红, 唐丈坤(336)	5)
基干水资源调度的平原河网区城市河道氮迁移转化研究 · · · · · · · · · · · · · · · · · · ·	
刘波,盛明,朱强,杨霜,檀炳超,范冉,南旭军,何茂阳,王国祥(337)	2)
从 及,	3)
杭州湾潮滩湿地植物不同分解过程及其磷素动态 ····································	1)
基于数据同化的太湖叶绿素多模型协同反演 李渊,李云梅,吕恒,朱利,吴传庆,杜成功,王帅(338)	9)
天然日光辐照下两江交汇处溶解性有机质(DOM)光漂白过程:以涪江-嘉陵江为例····································	- /
人然自儿相思下两江文在处谷胜往有忧灰(DOM)儿宗口过往:以行江-萧陵江为例	
	7)
利用紫外-可见吸收光谱估算三峡库区消落带水体、土壤和沉积物溶解性有机质(DOM)浓度 ····································	
李璐璐,江韬,卢松,闫金龙,高洁,魏世强,王定勇,郭念,赵铮(3408	0 \
子姆姆, 江阳, 广松, 门金龙, 间泊, 观巴强, 江水为, 沙沙, 沙沙, 沙沙,	0)
Cu ₂ O-Ag-AgBr/MA 可见光催化剂的制备及其降解 2-氯苯酚的研究 ····································	7)
不同粒径零价铁活化过硫酸钠氧化降解酸性橙 7 的影响及动力学研究 ······	
李办帝 互入自 五營	2)
子从族, // 金水, 与巨人, 奥约省, 土地, 外侧传(342.	2)
还原脫氯-生物联合降解 2,4-二氯本氧乙酸 周红艺,曾忠忠,梁忠,韩鉴(3430	0)
多介质土壤滤层系统(MSL)与潜流式人工湿地技术处理海水养殖废水的效能比较 ····································	
李欢旋,万金泉,马邕文,黄明智,王艳,陈杨梅(3422) 还原脱氯-生物联合降解 2,4-二氯苯氧乙酸 李欢旋,万金泉,马邕文,黄明智,王艳,陈杨梅(3422)	6)
多介质土壤滤层系统(MSL)与潜流式人工湿地技术处理海水养殖废水的效能比较	6)
多介质土壤滤层系统(MSL)与潜流式人工湿地技术处理海水养殖废水的效能比较 宋颖,黄玉婷,葛川,张浩,陈昕,张志剑,罗安程(3436不同碳源在污水处理过程中的变化规律研究 ·························· 金鹏康,常晋,王先宝,刘柯君,王晓昌(3446	6) 3)
多介质土壤滤层系统(MSL)与潜流式人工湿地技术处理海水养殖废水的效能比较 宋颖,黄玉婷,葛川,张浩,陈昕,张志剑,罗安程(3436)不同碳源在污水处理过程中的变化规律研究 金鹏康,常晋,王先宝,刘柯君,王晓昌(3445)气升装置对厌氧氨氧化反应器脱氮效能的影响 李祥,张大林,黄勇,陈宗姮,袁怡(3446)	6) 3) 9)
多介质土壤滤层系统(MSL)与潜流式人工湿地技术处理海水养殖废水的效能比较 宋颖,黄玉婷,葛川,张浩,陈昕,张志剑,罗安程(3436不同碳源在污水处理过程中的变化规律研究 金鹏康,常晋,王先宝,刘柯君,王晓昌(3445气升装置对厌氧氨氧化反应器脱氮效能的影响 李祥,张大林,黄勇,陈宗垣,袁怡(3445年) 李祥,张大林,黄勇,陈宗垣,袁怡(3445年) 李祥,张大林,黄勇,陈宗垣,袁怡(345年) 李祥,张大林,黄勇,陈宗垣,袁怡(345年)	6) 3) 9)
多介质土壤滤层系统(MSL)与潜流式人工湿地技术处理海水养殖废水的效能比较 宋颖,黄玉婷,葛川,张浩,陈昕,张志剑,罗安程(3436不同碳源在污水处理过程中的变化规律研究 金鹏康,常晋,王先宝,刘柯君,王晓昌(3445年) 金鹏康,常晋,王先宝,刘柯君,王晓昌(3445年) 金鹏康,常晋,王先宝,刘柯君,王晓昌(3445年) 金鹏康,常晋,王先宝,刘柯君,王晓昌(3445年) 金融,张大林,黄勇,陈宗姮,袁怡(3445年) 345年 刘启宝,倪晓棠,魏源送,佟娟,王亚炜(345年) 345年 147年 147年 147年 147年 147年 147年 147年 147	6) 3) 9) 5)
不同碳源在污水处理过程中的变化规律研究	6) 3) 9)
不同碳源在污水处理过程中的变化规律研究 金鹏康,常晋,王先宝,刘柯君,王晓昌(344)	6) 3) 9)
不同碳源在污水处理过程中的变化规律研究 金鵬康,常晋,王先宝,刘柯君,王晓昌(344:气升装置对厌氧氨氧化反应器脱氮效能的影响 李祥,张大林,黄勇,陈宗矩,袁怡(344:微波及其组合工艺强化污泥厌氧消化研究 刘吉宝,倪晓棠,魏源送,佟娟,王亚炜(345:"热水解-高温厌氧消化"工艺处理高含固率剩余污泥的中试研究 吴静,王广启,曹知平,李中华,胡玉瑛,王凯军,左剑恶(346:污水处理厂尾水细菌群落结构分析 吴鹏,陆爽君,徐乐中,刘捷,沈耀良(346:污水处理厂尾水细菌群落结构分析 徐爱玲,任杰,宋志文,吴等等,夏岩(347:沼液养殖钝顶螺旋藻的中试研究 国青青,刘锐,罗金飞,王根荣,陈吕军,刘矣(348:内源呼吸过程溶解性代谢产物的光谱特性分析 李志华,引起丽,张芹,刘毅,贺春博(349:S-异丙甲草胺与镉对斜生栅藻光合作用的影响 陈彩东,胡晓娜,章小强,刘惠君(349:影响浑太河流域鱼类群落结构的不同尺度环境因子分析 李志华,自旭丽,张芹,刘毅,贺春博(349:影响浑太河流域鱼类群落结构的不同尺度环境因子分析 李老华,自旭丽,张芹,刘毅,贺春博(352:Fontibacter sp. SgZ-2 厌氧腐殖质/Fe(Ⅲ)还原特性及电子传递机制研究 马文华,张玮,顾琬雯,张瑞雷,王丽卿(351:Fontibacter sp. SgZ-2 厌氧腐殖质/Fe(Ⅲ)还原特性及电子传递机制研究 艾建超,王宁,杨净(353:石河子市土壤环境磁学特征及空间分布研究 杨海,熊黑钢,陈学刚(353:不同施磷量(KH,PO₄)作用对 Cu、Zn 在红壤中的迁移转化 郭亮,李忠武,黄斌,王艳,张艳(354	6) 3) 9) 5) 1) 6) 3) 7) 2) 8) 4) 3) 2) 0) 7)
不同碳源在污水处理过程中的变化规律研究 金鹏康、常晋,王先宝、刘柯君,王晓昌(344、气升装置对厌氧氨氧化反应器脱氮效能的影响 李祥,张大林,黄勇,陈宗姮,袁怡(344、微波及其组合工艺强化污泥厌氧消化研究 刘吉宝,倪晓棠,魏源送,佟娟,王亚炜(345、"热水解-高温厌氧消化"工艺处理高含固率剩余污泥的中试研究 吴静,王广启,曹知平,李中华,胡玉瑛,王凯军,左剑恶(346、污水处理厂尾水细菌群落结构分析 吴鹏,陆爽君,徐乐中,刘捷,沈耀良(346、污水处理厂尾水细菌群落结构分析 发寒,生物产者,有多个,在杰,宋志文,吴等等,夏岩(347、沼液养殖钝顶螺旋藻的中试研究 国青青,刘锐,罗金飞,王根荣,陈吕军,刘矣(348、内源呼吸过程溶解性代谢产物的光谱特性分析 李志华,张芹,白旭丽,刘毅(348、基于呼吸图谱的自养菌与异养菌内源呼吸过程分析 李志华,由旭丽,张芹,刘毅,贺春博(349、S-异丙甲草胺与镉对斜生栅藻光合作用的影响 陈彩东,胡晓娜,章小强,刘惠君(349、影响浑太河流域鱼类群落结构的不同尺度环境因子分析 李志华,自旭丽,张芹,刘毅,贺春博(349、影响浑太河流域鱼类群落结构的不同尺度环境因子分析 李艳利,李艳粉,徐宗学(350、河口区新建河道轮虫群落演替及与水环境的关系 马文华,张玮,顾琬雯,张瑞雷,王丽卿(351、Fontibacter sp. SgZ-2 厌氧腐殖质/Fe(Ⅲ)还原特性及电子传递机制研究 马晨,杨贵芹,陆琴,周顺桂(352、基于 UNMIX 模型的夹皮沟金矿区土壤重金属源解析 艾建足,于宁、为是,为贵,为贵,则,陈学刚(353、不同施磷量(KH,PO₄)作用对 Cu、Zn 在红壤中的迁移转化 郭亮,李忠武,黄斌,王艳,张艳(3546、硫素对水稻吸收砷的生物有效性及其在十壤中形态影响 杨世杰,唐冰培、王代长、饶伟、张亚楠、王丹、朱云集(3556、硫素对水稻吸收砷的中物有效性及其在十壤中形态影响 杨世杰,唐冰培、王代长、饶伟、张亚楠、王丹、朱云集(3556、硫素对水稻吸收砷的中物有效性及其在十壤中形态影响 杨世杰,唐冰培、王代长、饶伟、张亚楠、王丹、朱云集(3555	66) 33) 99) 55) 11) 166) 33) 77) 22) 88) 44) 33) 77) 66) 33)
不同碳源在污水处理过程中的变化规律研究 金鹏康、常晋,王先宝、刘柯君,王晓昌(344、气升装置对厌氧氨氧化反应器脱氮效能的影响 李祥,张大林,黄勇,陈宗姮,袁怡(344、微波及其组合工艺强化污泥厌氧消化研究 刘吉宝,倪晓棠,魏源送,佟娟,王亚炜(345、"热水解-高温厌氧消化"工艺处理高含固率剩余污泥的中试研究 吴静,王广启,曹知平,李中华,胡玉瑛,王凯军,左剑恶(346、污水处理厂尾水细菌群落结构分析 吴鹏,陆爽君,徐乐中,刘捷,沈耀良(346、污水处理厂尾水细菌群落结构分析 发寒,生物产者,有多个,在杰,宋志文,吴等等,夏岩(347、沼液养殖钝顶螺旋藻的中试研究 国青青,刘锐,罗金飞,王根荣,陈吕军,刘矣(348、内源呼吸过程溶解性代谢产物的光谱特性分析 李志华,张芹,白旭丽,刘毅(348、基于呼吸图谱的自养菌与异养菌内源呼吸过程分析 李志华,由旭丽,张芹,刘毅,贺春博(349、S-异丙甲草胺与镉对斜生栅藻光合作用的影响 陈彩东,胡晓娜,章小强,刘惠君(349、影响浑太河流域鱼类群落结构的不同尺度环境因子分析 李志华,自旭丽,张芹,刘毅,贺春博(349、影响浑太河流域鱼类群落结构的不同尺度环境因子分析 李艳利,李艳粉,徐宗学(350、河口区新建河道轮虫群落演替及与水环境的关系 马文华,张玮,顾琬雯,张瑞雷,王丽卿(351、Fontibacter sp. SgZ-2 厌氧腐殖质/Fe(Ⅲ)还原特性及电子传递机制研究 马晨,杨贵芹,陆琴,周顺桂(352、基于 UNMIX 模型的夹皮沟金矿区土壤重金属源解析 艾建足,于宁、为是,为贵,为贵,则,陈学刚(353、不同施磷量(KH,PO₄)作用对 Cu、Zn 在红壤中的迁移转化 郭亮,李忠武,黄斌,王艳,张艳(3546、硫素对水稻吸收砷的生物有效性及其在十壤中形态影响 杨世杰,唐冰培、王代长、饶伟、张亚楠、王丹、朱云集(3556、硫素对水稻吸收砷的中物有效性及其在十壤中形态影响 杨世杰,唐冰培、王代长、饶伟、张亚楠、王丹、朱云集(3556、硫素对水稻吸收砷的中物有效性及其在十壤中形态影响 杨世杰,唐冰培、王代长、饶伟、张亚楠、王丹、朱云集(3555	66) 33) 99) 55) 11) 166) 33) 77) 22) 88) 44) 33) 77) 66) 33)
不同碳源在污水处理过程中的变化规律研究 金鹏康、常晋,王先宝、刘柯君,王晓昌(344、气升装置对厌氧氨氧化反应器脱氮效能的影响 李祥,张大林,黄勇,陈宗姮,袁怡(344、微波及其组合工艺强化污泥厌氧消化研究 刘吉宝,倪晓棠,魏源送,佟娟,王亚炜(345、"热水解-高温厌氧消化"工艺处理高含固率剩余污泥的中试研究 吴静,王广启,曹知平,李中华,胡玉瑛,王凯军,左剑恶(346、污水处理厂尾水细菌群落结构分析 吴鹏,陆爽君,徐乐中,刘捷,沈耀良(346、污水处理厂尾水细菌群落结构分析 发寒,生物产者,有多个,在杰,宋志文,吴等等,夏岩(347、沼液养殖钝顶螺旋藻的中试研究 国青青,刘锐,罗金飞,王根荣,陈吕军,刘矣(348、内源呼吸过程溶解性代谢产物的光谱特性分析 李志华,张芹,白旭丽,刘毅(348、基于呼吸图谱的自养菌与异养菌内源呼吸过程分析 李志华,由旭丽,张芹,刘毅,贺春博(349、S-异丙甲草胺与镉对斜生栅藻光合作用的影响 陈彩东,胡晓娜,章小强,刘惠君(349、影响浑太河流域鱼类群落结构的不同尺度环境因子分析 李志华,自旭丽,张芹,刘毅,贺春博(349、影响浑太河流域鱼类群落结构的不同尺度环境因子分析 李艳利,李艳粉,徐宗学(350、河口区新建河道轮虫群落演替及与水环境的关系 马文华,张玮,顾琬雯,张瑞雷,王丽卿(351、Fontibacter sp. SgZ-2 厌氧腐殖质/Fe(Ⅲ)还原特性及电子传递机制研究 马晨,杨贵芹,陆琴,周顺桂(352、基于 UNMIX 模型的夹皮沟金矿区土壤重金属源解析 艾建足,于宁、为是,为贵,为贵,则,陈学刚(353、不同施磷量(KH,PO₄)作用对 Cu、Zn 在红壤中的迁移转化 郭亮,李忠武,黄斌,王艳,张艳(3546、硫素对水稻吸收砷的生物有效性及其在十壤中形态影响 杨世杰,唐冰培、王代长、饶伟、张亚楠、王丹、朱云集(3556、硫素对水稻吸收砷的中物有效性及其在十壤中形态影响 杨世杰,唐冰培、王代长、饶伟、张亚楠、王丹、朱云集(3556、硫素对水稻吸收砷的中物有效性及其在十壤中形态影响 杨世杰,唐冰培、王代长、饶伟、张亚楠、王丹、朱云集(3555	66) 33) 99) 55) 11) 166) 33) 77) 22) 88) 44) 33) 77) 66) 33)
不同碳源在污水处理过程中的变化规律研究	66) 33) 99) 55) 11) 66) 33) 60) 77) 22) 88) 44) 23) 44) 42)
不同碳源在污水处理过程中的变化规律研究	66) 3) 99) 55) (1) (6) 33) (7) (2) (8) (4) (3) (7) (6) (3) (4) (4) (4) (4) (4) (4) (4) (4
不同碳源在污水处理过程中的变化规律研究	66) 33) 99) 55) 11) 66) 33) 60) 77) 22) 88) 44) 23) 44) 42)
不同碳源在污水处理过程中的变化规律研究	66) 33) 99) 55) 11) 66) 33) 60) 77) 22) 88) 44) 23) 44) 42)
不同碳源在污水处理过程中的变化规律研究	66) 33) 99) 55) 11) 66) 33) 60) 77) 22) 88) 44) 23) 44) 42)
不同碳源在污水处理过程中的变化规律研究 金廳康、常晋,王先宝,刘柯君,王晓昌(344)	66) 33) 99) 55) 11) 66) 33) 60) 77) 22) 88) 44) 23) 44) 42)

基于水资源调度的平原河网区城市河道氮迁移转化研究

刘波^{1,2},盛明¹,朱强¹,杨霜¹,檀炳超¹,范冉¹,南旭军¹,何茂阳¹,王国祥²*

(1. 南通大学地理科学学院,南通 226007; 2. 江苏省环境演变与生态修复重点实验室,南京 210046)

摘要:研究平原河网区城市河道在水资源调度过程中的水文特征和理化特征,探讨基于水资源调度的城市河道氮素形态与组成;在实验模拟条件下,研究基于水资源调度的城市河道沉积物 NH_4^+ -N释放过程.结果表明,研究河段在水资源调度作用下水深日变化过程明显;以农历月为单位,水资源调度可以分为轻度置换阶段和深度置换阶段;沿调水路径河道上覆水 DO 有下降趋势,高锰酸盐指数则呈现升高趋势;沿调水路径上覆水 NO_3^- -N浓度逐渐减少, NH_4^+ -N浓度显著升高;DO 与高锰酸盐指数是影响上覆水 NO_3^- -N、 NH_4^+ -N浓度的主要因素;沉积物内源 NH_4^+ -N释放是上覆水 NH_4^+ -N的一个重要来源;水资源调度显著影响(P < 0.05)上覆水 NH_4^+ -N浓度,对沉积物内源 NH_4^+ -N的释放影响不显著(P > 0.05).

关键词:水资源调度;城市河道;无机氮;氨氮释放;南通市

中图分类号: X52 文献标识码: A 文章编号: 0250-3301(2014)09-3373-08 DOI: 10.13227/j. hjkx. 2014. 09. 018

Migration and Transformation of Nitrogen in Urban Stream Located in Plain River-net Area Based on Water Resources Regulation

LIU Bo^{1, 2}, SHENG Ming¹, ZHU Qiang¹, YANG Shuang¹, TAN Bing-chao¹, FAN Ran¹, NAN Xu-jun¹, HE Mao-yang¹, WANG Guo-xiang²

(1. School of Geography Science, Nantong University, Nantong 226007, China; 2. Jiangsu Key Laboratory of Environmental Change & Ecological Construction, Nanjing 210046, China)

Abstract: To study hydrological features and physical and chemical characteristics of urban stream located in the plain river network area in the process of water resources regulation, and to discuss the forming and composition of nitrogen in urban stream based on water resources regulation. Effects of water regulation on the ammonium release from sediments in urban stream were studied under the condition of experimental simulation. The results showed that diurnal variation of water depth under the action of water resources regulation was significant. The value of DO in the overlying water along the water resources regulation path tended to decrease, while the concentration of permanganate index tended to increase. The concentration of nitrate in overlying water along the water resources regulation path gradually decreased, while the concentration of ammonium significantly increased. DO and permanganate index were the main factors influencing the concentrations of nitrate and ammonium in overlying water. Ammonium released from the sediments was an important source of ammonium in overlying water. Water resources regulation had a significant influence (P < 0.05) on the concentration of ammonium in overlying water, but had no significant influence on the amount of cumulative ammonium released from sediments (P > 0.05).

Key words: water resources regulation; urban stream; inorganic nitrogen; release of ammonium; Nantong City

水资源调度,即利用水利工程来实现水资源时空的重新分配,从而满足供水保障、防洪抗旱和生态改善的要求^[1].水资源调度包括供水调度、防洪调度、水库调度、水沙调度和环境调度^[2].长江三角洲东部平原河网区为典型感潮河网地区,区域内河道纵横、水系发达,过境水量充沛且水质较好,再加之潮汐自然涨落水动力优势为开展水资源调度工作提供了有利条件^[3].水资源调度已经成为该区域保障生活生产和生态用水,改善水体环境质量,不可缺少且长期有效的水资源利用和水环境保护重要措施^[4].

城市河道氮素超标已经成为城市水环境面临的 一个突出问题. 沉积物作为排入河道中各类污染物 主要的归宿场所之一,累积了大量的污染物质. 富 集于沉积物中的污染物质在一定条件下重新释放,成为二次污染源^[5,6]. 研究表明,内源氮已成为河道氮素污染的重要贡献者^[7]. 氮作为水生生态系统中一种重要的生源要素,其迁移转化受到许多环境因子的影响^[8,9]. 水资源调度过程中随着水量的调换,会改变上覆水的基本组成和理化性质,水位在短期内也会出现急剧变动,这些改变对河道氮的迁移转化过程必然会产生深刻影响. 目前关于水资源调

收稿日期: 2014-02-14; 修订日期: 2014-04-02

基金项目: 国家自然科学基金项目(41173078); 江苏省自然科学基金项目(5BK201321353); 南通市自然科学基金项目(BK2013058); 大学生创新训练计划项目(201310304038Z,201310304069Y)

作者简介: 刘波(1976~),男,博士,副教授,主要研究方向为水环境保护和水生态修复,E-mail:lb@ ntu. edu. cn

* 通讯联系人, E-mail: wangguoxiang@ njnu. edu. cn

度对河道氮素迁移转化的影响研究,还只是包含在 水资源调度对水环境总体质量研究之中[10~12],还未 见基于水资源调度的城市河道水体氮素迁移转化相 对系统研究. 因此,研究污染河道水体环境特征在 水资源调度下的变化过程,深入揭示水资源调度过 程中氮形态迁移转化过程,探讨沉积物内源氮释放 行为对水资源调度的响应机制,对于有效解决平原 河网区污染河道氮污染问题具有十分重要的现实意 义. 本文以南通市主城区东部水洗为研究对象,通 过野外实地观测,分析水资源调度过程中沿调水路 径城市河道水文特征变化,探讨水资源调度的基本 过程;通过分析上覆水理化指标,探讨基于水资源 调度的平原河网区城市河道氮素形态与组成; 在实 验模拟条件下,不考虑外源污染,研究基于水资源调 度的城市河道沉积物NH,+-N释放过程,探讨基于水 资源调度的平原河网区城市河道氮素迁移转化机 制,以期为平原河网区城市污染河道氮污染治理提 供理论支撑.

1 材料与方法

1.1 研究区概况

南通市位于江苏省东南部,滨江临海,分属长江

和淮河两大流域,水系较独立,为典型感潮平原河网区,具有得天独厚的水资源开发利用优势. 南通市每年要从长江引调大量的水满足工农业生产及防汛抗旱的需要. 随着南通市经济社会的快速发展,城市内河的水环境质量问题日趋突出,迫切需要通过水利工程设施,加大引江调水力度,增加供水能力,以增强河道自净和调蓄能力有效改善河道水质,维持河流的健康生态. 2009 年开始,南通市针对生态换水制定专门的引江调水方案,通过引江调水改善境内河道水质已成为南通市水环境保护的常态化工作.

南通市主城区东片水系水资源调度主要通过通 吕运河的节制闸自长江引水,经通吕运河3个闸泵 站(图1中①、②、③)向南部城区的城市内河输 水,即共有3条引江调水路径,见图1. 本研究选择 该区域其中一条引江调水路径作为研究河段,即由 郭里头河闸及泵站自引或抽引通吕运河水,通过郭 里头河、濠东河、通甲河到海港引河,经小姚港涵 闸人江. 郭里头河闸平水时关,关闸后提水泵站全 力运行向内河引水. 沿调水路径,从通吕运河沿引 水的水流方向至海港引河设置不同的采样断面,见 图1.

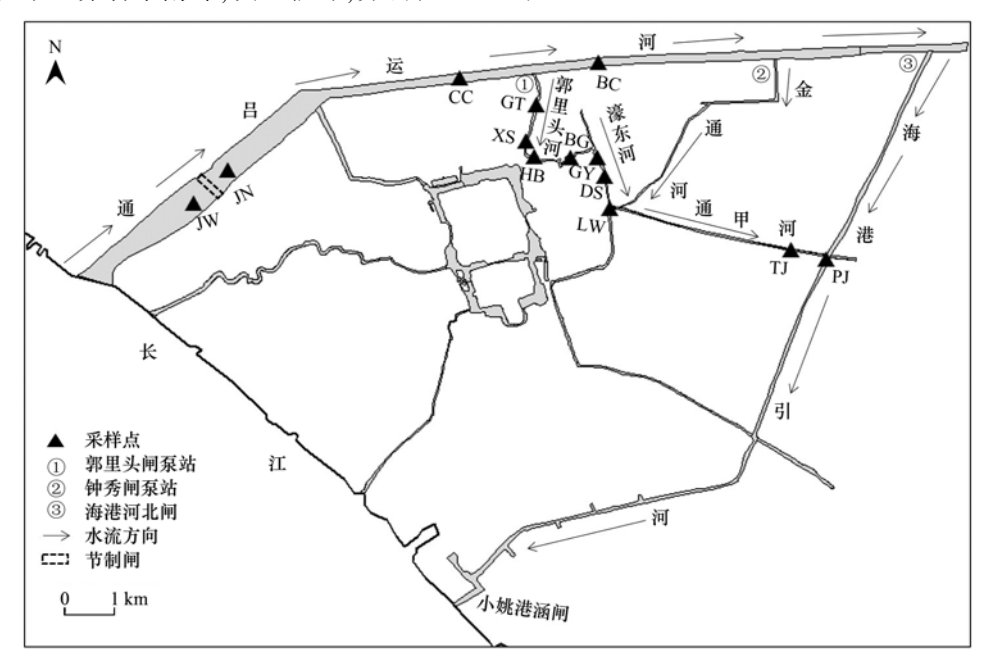


图1 采样点示意

Fig. 1 Map of Nantong City showing sampling stations

1.2 采样与观测

选择龙王桥(LW)断面和通京大道(TJ)断面进行为期一个月的水深观测(2013年7月7日~8月7日),现场同时测定 DO(YSI550,美国)、pH(YSI

100,美国)温度和水温.

7月18日(农历十一)、7月24日(农历十七)和8月5日(农历二十九),沿引江调水的水流方向分别在设置断面现场测定DO、pH和温度、水温,

另采集水样 $1\,000\,\text{ mL}$,送回实验室测定水样高锰酸 盐指数、DTN(可溶性总氮)、 NH_4^+ -N、 NO_3^- -N和 NO_7^- -N.

1.3 沉积物NH₄ -N释放模拟

在JW 断面采集上覆水,水样经 0.45 µm 滤膜 过滤作为实验用水,过滤水样放入冰箱,4℃蔽光保 存. 在龙王桥(LW)断面,用自制柱状采样器(有机 玻璃,φ50 mm×500 mm)采集河道表层沉积物约15 cm 的柱状样若干. 采集样品迅速送至实验室. 任意 取出3根柱状样进行沉积物及间隙水理化性质分 析. 其余柱状样保留表层沉积物 10 cm,用虹吸法排 出原有上覆水后加入经抽滤的实验用水(加至约30 cm 高,相当于 LW 断面平均水深,即 1.30 m,见 2.1 节). 将处理后柱状样分为2组,每组3根. 其中1 组水深保持不变,作为对照组(C组); 另外1组(S 组),根据 LW 断面观测的水深(7月23~30日)变 化,按照容器 30 cm 高相当于野外 1.30 m 水深的比 例加减实验系统的水量以模拟野外观测到水深变化 过程. 记录每次加入或抽取水量. C 组中,每日早晚 从各柱状样设置的采样口采集水样 20 mL,后补充 实验用水 20 mL. S组中,根据水深变化,在保证 20 mL 水质分析水样的基础上进行水量调整. 采集(抽 取)水样和加入水样同时进行 DTN(可溶性总氮)、 NH₄ -N、NO₃ -N和NO₅ -N分析. 实验期间通过水浴 使实验系统温度为28~29℃,与野外相似.

沉积物NH4+N释放量计算见式(1).

$$R_i = M_i - Mr_{i-1} - Ma_{i-1}$$
 (1)

式中, R_i 为第 i 次NH₄⁺-N释放量, $mg \cdot m^{-2}$; M_i 为采样前第 i 次容器内NH₄⁺-N含量, $mg \cdot m^{-2}$; Mr_{i-1} 为第 i-1 次采样后容器内剩余NH₄⁺-N含量, $mg \cdot m^{-2}$; Ma_{i-1} 为第 i-1 次加入NH₄⁺-N含量, $mg \cdot m^{-2}$; 根据每次采集水样、加入或取出水样的体积和NH₄⁺-N浓度计算 M_i 、 Mr_{i-1} 和 Ma_{i-1} . 沉积物NH₄⁺-N累积释放量等于每次释放量累加之和.

1.4 样品采集与分析

将采集的柱状样排于上覆水后用上顶法分层研究沉积物,用离心法($4\,000\,\mathrm{r\cdot min^{-1}}$, $20\,\mathrm{min}$)获得间隙水. 把取得的上覆水和间隙水用 $0.45\,\mathrm{\mu m}$ 的醋酸纤维滤膜过滤,过滤后的水样采用标准方法进行DTN(可溶性总氮)、 $\mathrm{NH_4^+-N}$ 、 $\mathrm{NO_3^--N}$ 和 $\mathrm{NO_2^--N}$ 分析[13], TIN (总无机氮)为 $\mathrm{NH_4^+-N}$ 、 $\mathrm{NO_3^--N}$ 和 $\mathrm{NO_2^--N}$ 之和. 每天分时段监测 DO 和 pH. 水中的高锰酸盐指数采用标准方法测定[13].

沉积物有机质含量采用重铬酸钾-硫酸外加热 法测定 [14]. 沉积物 NH_4^+ -N和 NO_3^- -N浓度测定: 称取相当于 10 g 干样的新鲜沉积物,用 2 mol·L $^{-1}$ 的 KCl 溶液浸提(液: \pm = 5: 1),振荡 30 min,过滤后比色法(波长为 210 nm)测定浸提液中 NO_3^- -N浓度;纳氏比色法(波长为 420 nm)测定浸提液中 NH_4^+ -N浓度 [15]. TN 的测定为碱性过硫酸钾消解后在波长 210 nm 比色测定 [14].

2 结果与讨论

2.1 内河水深变化过程

监测到的水深变化如图 2 所示. 两个观测点位于通甲河的上下游, LW 和 TJ 断面的水深变化显著相关(P < 0.01, t-test). LW 和 TJ 断面最大及最小水深分别为 1.75 m、0.81 m 和 2.00 m、0.45 m,平均水深分别为 1.30 m(以 LW 断面的平均水深作为室内释放模拟参考水深单位)和 1.47 m. 在水资源调度的作用下,内河水深存在明显的日变化过程,LW 和 TJ 断面每 12 h 水深变化平均为 0.18 m 和 0.23 m,每 12 h 最大水深变化分别为 0.55 m 和 0.85 m.

内河水深主要由引水和排水两个环节决定,当 地水利部门根据每月长江潮汛变化、长江来水量、 内河水质和当地降水状况及防旱、防汛需要适时调 整引水和排水过程,调控内河水体置换过程,保证内 河水环境质量[16]. 引水分为自流引水和动力提水 两种类型,自流引水基本是依靠长江潮汐动力,在高 潮时引水,低潮时排水,水体置换效果往往受到时间 和长江潮位的限制;为了保持内河良好水环境质量 水平,在自流换水基础上必须采用动力提水实现调 水引流. 研究河段郭里头泵站, 在平水时全力运行 即是按此原则设置. 在引入源水能得到保障的基础 上适时开闸排水以达到换水目的. 观测发现,研究 区内河水体置换分两种方式. 一是"轻度置换",在 长江非大潮汛阶段,利用长江不规则半日潮规律在 每天涨潮时全力开闸引水,平水时通过泵站引水,通 过汇入河道(海港引河)的水位来控制引水路径中 河道水深,水深日变化幅度不大,水量置换力度较 小,能保证内河水体缓慢流动,水力停留时间长;农 历初六(7月13日)到农历十四(7月21日)、农历 十八(7月25日)到农历二十一(7月28日)以及农 历二十三(7月30日)到农历二十八(8月4日)阶 段的水深变化反映了上述过程,见图 2. 二是"深度 置换",在长江大潮汛(农历初一、十五)到来之前1

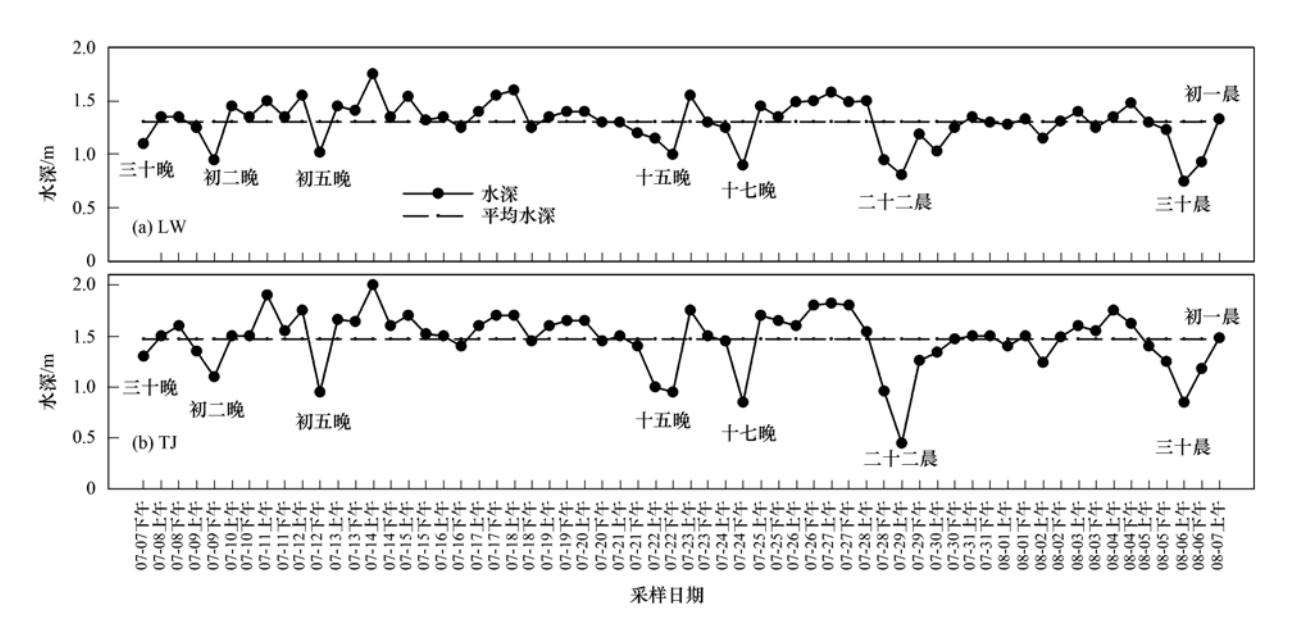


图 2 水深变化过程

Fig. 2 Variation of water depth

~2 d 内于每天退潮阶段尽可能开闸(小姚港涵闸)排水,排出水质较差的内河水,农历十五前(7月22日)和农历初一(7月8日)前水深变化反映了这一过程;接着在大潮汛期间(2~3d内)尽可能利用潮汐动力加速换水过程,水量置换力度大,水体流速快,水力停留时间短,见农历初二(7月9日)到农历初五(7月12日)以及农历十五(7月22日)到农历十八(7月25日)的水深变化过程.另外,在非潮汛时段,在引入源水得到保障的基础上可以利用深度置换方式来满足内河水质和防汛需要,如农历二十二(7月29日)前后的水深变化.

2.2 沿调水路径水中 DO 与高锰酸盐指数变化

沿调水路径水流方向,各监测断面 DO 变化如图 3 所示. 不难发现,沿水流方向 DO 存在明显的空间差异,即在 HB 断面以下,水体 DO 迅速降低,这一现象在流速较缓、水力停留时间长的轻度置换阶段更为明显. 沿程各监测断面高锰酸盐指数变化见图 4. 通过高锰酸盐指数与 DO 相关性分析发现,在轻度置换阶段二者呈极显著负相关(见表 1),表明沿程 DO 下降与高锰酸盐指数增高有关. 实地考察发现,从 HB 断面到 TJ 断面河流经的主要是居民生活区. 造成监测断面高锰酸盐指数增高的原因一是由于"雨污分流"还未能完全实施,周围可能有部分生活污水排入,导致水中耗氧污染物增多;另外一个原因是该河段的沉积物富集了大量耗氧污染物质,内源污染严重(见表 2),加剧了水中 DO 的消耗.

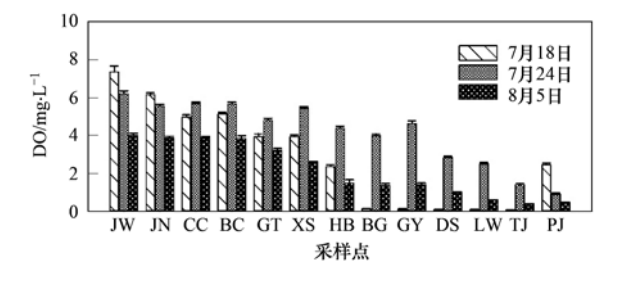


图 3 各采样点 DO 值

Fig. 3 Variation of DO concentration in sampling stations

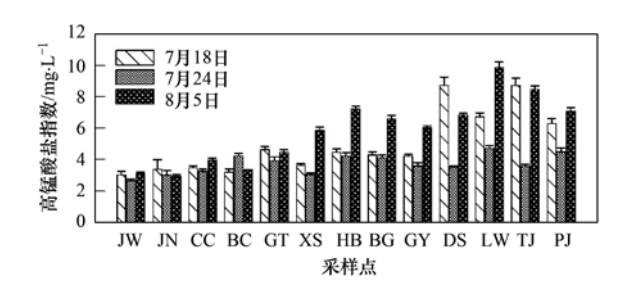


图 4 各采样点高锰酸盐指数

Fig. 4 Variation of permanganate index concentration in sampling stations

2.3 沿调水路径水中氮形态变化

沿引江调水路径,河道无机氮(IN)组成与浓度变化见图 5. 从 3 次调查数据来看,引入内河的源水(JW 断面)氮素浓度及组成变化不大. 引入内河的源水中 TIN 浓度为 2. 73 mg·L⁻¹ ± 0. 13 mg·L⁻¹,其中以NO₃-N为主,占总 TIN 的 77. 6%以上,其次是NH₄+-N,而NO₂-N浓度均很低,这与长江河口和相关地区的 IN 组成相似^[17, 18]. 沿调水路径,内河水

中TIN浓度及组成变化与内河水资源调度阶段有 关. 由图 2 可知,7 月 18 日和 8 月 5 日处于轻度置 换阶段. 引入的源水在经郭里头泵站引入内河后, 沿水流方向各监测断面氮素组成发生了明显的变 化,主要表现为随着水流流向 TIN 浓度增加,NO, -N 浓度明显下降,NH4+N浓度显著升高. 监测断面中 TIN 最大浓度分别出现在 DS 断面和 TJ 断面,均为 引入内河源水(JW 断面)的 1.94 倍; NH_{4}^{+} -N的最大 浓度分别为 4.24 mg·L⁻¹ ± 0.08 mg·L⁻¹(DS 断面) 和 4. 40 mg·L⁻¹ ± 0. 10 mg·L⁻¹(TJ 断面),分别为引 入内河源水(JW 断面)的 9.93 倍和 8.78 倍; NO₃-N最小浓度分别为引入内河源水(JW 断面)的 11.7% (TJ 断面)和10.1% (TJ 断面).根据图2,7 月24日为深度置换阶段,沿调水路径各监测断面的 TIN 浓度变化不大, NO, -N浓度有所下降, NO, -N 最小浓度为 1.11 mg·L⁻¹ ±0.08 mg·L⁻¹(TJ 断面), 为JW 断面的 50%; 沿程NH₄+N浓度有所上升, NH₄ -N浓度最大浓度 1.77 mg·L⁻¹ ± 0.04 mg·L⁻¹ (TJ 断面),为 JW 断面的 2.78 倍.

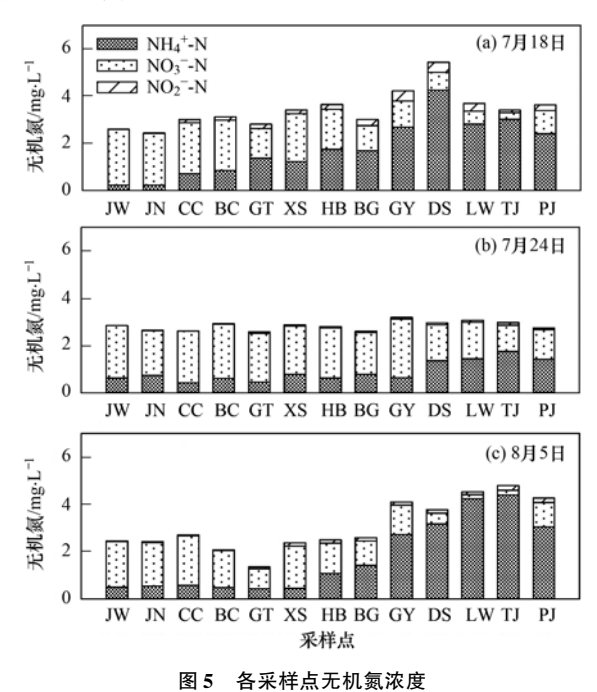


Fig. 5 Variation of inorganic nitrogen concentration in sampling stations

水生生态系统中NO;-N可被生物吸收或经反硝 化作用去除[19],DO 是控制水生生态系统反硝化过 程的一个关键因素[20,21]. 自然条件下河流为动态 流动水流,虽然存在反硝化细菌,但一般溶解氧较 高,多处于氧化环境,因此氮在河流中的反硝化作用 可能并不明显[22]. 可是在水流较为稳定的时期,在 一定条件下会发生明显的反硝化过程^[23]. 在 HB 断 面以下,在深度置换阶段由于水流较快,水力停留时 间短,各断面NO,-N浓度下降趋势不明显;在轻度 置换阶段各断面NO;-N浓度有下降趋势显著. 可 见,在轻度置换阶段反硝化作用可以削减源水中部 分的NO、-N,但是由于NH4+N浓度显著升高抵消了 对总氮去除的效果. 研究河段沿水流方向 DO 存在 明显的空间差异,在轻度置换阶段,HB 断面以下水 体 DO 迅速降低(见图 3). 随着 DO 降低,各断面 NO3-N浓度有明显下降的过程. 通过对 DO 与各形 态无机氮的相关性分析(见表 1),结果发现 DO 和 NO_3^- -N呈极显著相关关系(P < 0.01),表明 DO 控 制的反硝化过程是影响沿程NO、-N浓度的一个重要 因素.

HB 断面以下水中NH₄ -N浓度明显升高,主要 是由于有新的NH,⁺-N输入. 研究河段水中NH,⁺-N一 方面有可能来源于外源输入,即生活污水注入,生活 污水中NH₄+-N含量一般较高^[24]. 由表 1 发现在轻 度置换阶段,高锰酸盐指数与NH4-N极显著正相关 关系,表明生活污水中耗氧污染物增加可能伴有 NH_4^+ -N的注入. 另一方面,水中的 NH_4^+ -N可能来自 于沉积物的内源NH4+N释放. 研究河段间隙水中含 有很高浓度的NH₄+-N(见表 2). 在水力停留时间较 长、DO 水平较低[6]、水温较高的条件下[25, 26]会快 速向上覆水释放. 较低 DO 水平同时会抑制水中氮 的硝化作用[19, 27, 28],使NH₄-N在上覆水中累积,导 致上覆水中NH,*-N浓度增高. DO 与NH,*-N呈极显 著负相关关系(见表 1),说明 DO 是影响水中 NH4+N浓度的一个重要因素. 在流速缓慢,水力停 留时间长的轻度置换阶段,在内、外源的作用下,沿 程水体中高锰酸盐指数增高及DO下降,控制着河

表 1 DO、高锰酸盐指数与无机氮 Pearson 相关关系 1 (n = 13)

 $Table \ 1 \quad Pearson \ correlation \ between \ DO \ , \ permanganate \ index \ and \ inorganic \ nitrogen$

- 项目 -	7月18日			7月24日				8月5日				
坝目 -	DO	NH ₄ -N	NO ₃ -N	NO ₂ -N	DO	NH ₄ -N	NO ₃ -N	NO ₂ -N	DO	NH ₄ -N	NO ₃ -N	NO ₂ -N
高锰酸盐指数	-0.72 **	0. 90 **	-0.87**	0.46	-0.35	0. 10	0.01	0. 45	-0.94**	0. 84 **	-0.82 **	0. 81 **
DO	1	-0.87 **	0. 90 **	-0.80 **	1	- 0. 90 **	0.88**	-0.82 **	1	- 0. 87 **	0. 80 **	- 0. 90 **

^{1)*}表示显著相关(P<0.05);**表示极显著相关(P<0.01)

表 2 表层沉积物及间隙水主要理化指标1)

Table 2 Ph	vsico-chemical	characteristics	of sediment	and	porewater in	study s	sites
------------	----------------	-----------------	-------------	-----	--------------	---------	-------

海岸		沉积物/	′mg•kg ⁻¹	间隙水/mg·L ⁻¹				
深度 /cm	OM/%	TN	NH ₄ ⁺ -N	NO ₃ -N	高锰酸盐指数	TDN	NH,+ -N	NO_3^- -N +
/ CIII	OM/ 70	111	11114 -11	NO ₃ -N /μg·kg ⁻¹	同強敗血泪奴	IDN	11114 -11	NO_2^- -N
0 ~ 2	5.69 ± 0.21	$3\ 294.50 \pm 137.70$	548.00 ± 82.02	60.00 ± 1.41	21.25 ± 0.01	28.97 ± 5.96	25.99 ± 4.57	0.42 ± 0.04
$2 \sim 4$	6.13 ± 0.04	$3\ 035.50\pm20.41$	645.00 ± 36.77	60.50 ± 2.12	27.81 ± 1.44	37.73 ± 3.34	35.18 ± 4.40	0.41 ± 0.03
4 ~ 6	6.15 ± 0.06	2976.00 ± 108.89	736.00 ± 36.45	59.50 ± 3.54	73.13 ± 1.77	53.01 ± 4.89	50.21 ± 5.86	0.49 ± 0.07
6 ~ 8	5.98 ± 0.11	$3\ 027.\ 50\ \pm41.\ 72$	794.00 ± 45.25	59.50 ± 9.19	95.00 ± 0.88	67.29 ± 1.03	61.74 ± 4.57	0.48 ± 0.07
8 ~ 10	6.38 ± 0.04	$3\ 082.50 \pm 101.12$	868.50 ± 116.63	57.00 ± 5.66	85.00 ± 1.05	79.93 ± 5.53	70.16 ± 3.92	0.49 ± 0.03

1)均值 ± SD

道的硝化和反硝化过程及沉积物-水界面氮迁移转 化过程,进而影响水体氮素组成和浓度.

2.4 基于水资源调度的沉积物NH₄-N释放

2.4.1 沉积物与间隙水理化性质

在野外采样分析的基础上,发现 HB 至 TJ 断面 的沉积物及间隙水理化组成具有相似性(数据未给 出). 基于此并根据调水路径中各断面的氮形态组 成,选择 LW 断面为沉积物氨氮释放的研究断面. 该断面沉积物及间隙水的理化特征见表 2. 从中不 难发现,该河段沉积物富含有机质(OM),表层沉积 物(0~10 cm) OM 含量平均达到 6.06% ±0.09%, 大致是太湖表沉沉积物 OM 含量的 1.41~4.02 倍[29,30]. 间隙水中的耗氧物质含量较高,高锰酸盐 指数的平均值达到 60.44 mg·L⁻¹ ± 0.80 mg·L⁻¹. 由此可见,表层沉积物及间隙水具有很大的耗氧潜 力. 这可能是导致上覆水 DO 下降和高锰酸盐指数 升高的一个主要原因. 表层沉积物的间隙水中氮素 组成以NH₄ -N为主,平均占 TDN 的 91.44%,平均 浓度达到 48.65 mg·L⁻¹ ± 4.67 mg·L⁻¹. 由于长期 处于低 DO 环境,表层沉积物及间隙水中NO、-N含 量(浓度)很低.

2.4.2 沉积物NH₄ -N释放过程

在不考虑到外源污染的基础上,使用引江调水的源头水(JW 断面采集并经抽滤)作为实验用水,进行沉积物 NH_4^+ -N释放模拟实验.在实验室条件下,上覆水 NO_3^- -N和 NO_2^- -N浓度很低(数据未给出),表明实验系统中硝化过程不明显.进行模拟实验阶段各组上覆水 NH_4^+ -N浓度和水深变化见图 6.从 2组上覆水 NH_4^+ -N浓度上升过程,不难发现沉积物 NH_4^+ -N释放过程很明显.对照组(C组)上覆水中 NH_4^+ -N最大浓度为 11.38 mg·L $^{-1}$ ± 0.12 mg·L $^{-1}$,为初始 NH_4^+ -N浓度的 46.21 倍.模拟水位变化组(S组)上覆水中 NH_4^+ -N浓度的 46.21 倍.模拟水位变化组(S组)上覆水中 NH_4^+ -N浓度的 46.21 倍.模拟水位变化组(S组)上覆水中 NH_4^+ -N浓度的 46.21 倍.核拟水位变化组(S组)上覆水中 NH_4^+ -N浓度的 46.21 倍.核拟水位变化组(S

于 S 组,2 组的 NH_4^+ -N浓度存在极显著差异 (P < 0.01, t-test). S 组上覆水中 NH_4^+ -N浓度与水深存在显著负相关性(P < 0.05).

实验系统中上覆水NH₄-N的浓度变化过程,证 明了沉积物内源NH4+N释放是造成 HB 断面以下 NH4+N浓度逐渐升高一个主要原因. 间隙水中 NH, -N通过扩散作用进入上覆水是内源NH, -N释 放的主要途径[31]. 研究河段间隙水中NH4-N浓度 高(表1),与上覆水NH,+-N存在很大的浓度差,表明 研究河段沉积物具有很高的NH4-N释放潜力[25]. 相关研究表明,在缺氧环境中,沉积物及间隙水中无 机氮以NH₄ -N形式向上覆水中释放^[6],并会在水中 累积[32,33]. 实验过程中 C 组 DO 平均值 0.09 mg·L⁻¹ ± 0.01 mg·L⁻¹, 最大值为 0.14 mg·L⁻¹ ± 0.01 mg·L⁻¹; S组 DO 平均值 0.21 mg·L⁻¹ ± 0.03 mg·L⁻¹,最大值为0.90 mg·L⁻¹ ±0.08 mg·L⁻¹,2 组 均处在缺氧环境. 可见,由于沉积物富含耗氧物质 形成的缺氧环境则是实验系统沉积物内源NH₄-N 加速释放并在上覆水累积的一个重要因素.

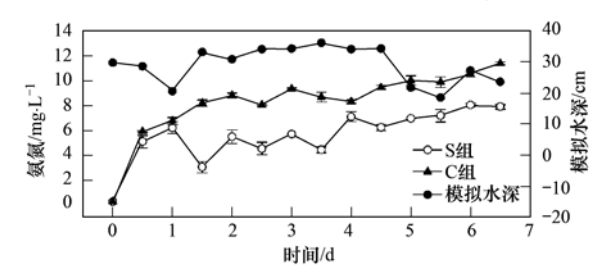


图 6 上覆水NH₄⁺-N浓度和模拟水深

Fig. 6 Variation of ammonium concentration and water depth in overlying water

各实验组上覆水 NH_4^+ -N累积释放量如图 7 所示. 实验过程中,C组 NH_4^+ -N累积释放量数值上要大于 S组. 实验结束时,C组 NH_4^+ -N总累积释放量为4 195. 73 $mg \cdot m^{-2} \pm 16$. 35 $mg \cdot m^{-2}$,是 S组的 1. 29倍. 但是,2组 NH_4^+ -N累积释放量差异性却并不显

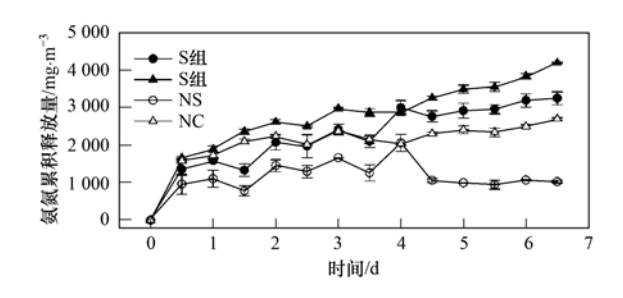


图 7 NH₄+-N累积释放量

Fig. 7 Amount of cumulative ammonium released from sediments

著(P > 0.05, t-test). 利用一级动力学方程对 2 组的NH₄⁺-N 累积释放量进行拟合, 精度较高 (r 为 0.949 和 0.941). C 组和 S 组NH₄⁺-N最大累积释放量分别为 3 656. 20 mg·m⁻² ± 111. 05 mg·m⁻² 和 3 236. 88 mg·m⁻² ± 155. 00 mg·m⁻². 从拟合趋势上看, 二者NH₄⁺-N累积释放量的差异也不显著 (P > 0.05, t-test). 表明一定的频率换水并没有显著改变沉积物NH₄⁺-N释放量.

通过比较 2 个实验组NH $_4^+$ -N净累积释放量(释放的NH $_4^+$ -N保留在实验系统内的部分,用 NS 和 NC 表示),发现 NS 和 NC 存在极显著差异(P < 0.01, t-test),见图 7. 实验结束时 S 组的NH $_4^+$ -N净累积释放量为1 029.00 mg·m $^{-2}$ ±31.97 mg·m $^{-2}$,为NH $_4^+$ -N总累积释放量的 31.63%. C 组NH $_4^+$ -N净累积释放量是 S 组的 2.63 倍,占 C 组NH $_4^+$ -N总累积释放量的 64.44%. 由此可见,水量调换虽然对沉积物 NH $_4^+$ -N总量影响不显著,但是随着水量调换还是将释放的NH $_4^+$ -N脱离了原系统,降低了原处上覆水中的NH $_4^+$ -N壳染负荷,这一过程在水力停留时间段的深度置换阶段则更为明显.

3 结论

- (1)水资源调度深刻影响城市内河的水文特征,研究河段在引江调水作用下水深日变化过程明显.按照农历月为单位,可以将水资源调度分为轻度置换阶段和深度置换阶段. 轻度置换阶段,水流缓慢,水力停留时间长;深度置换阶段,水流较快,水力停留时间短. 沿调水路径内河上覆水 DO 有下降趋势,高锰酸盐指数则呈现升高趋势.
- (2)沿调水路径内河上覆水中氮素组成变化与水资源调度有关. 在轻度置换阶段,沿调水路径上覆水的 TIN 浓度升高,NO₃-N浓度逐渐减少,NH₄-N浓度显著升高,反硝化作用削减了源水中部分的NO₃-N;在深度置换阶段,沿调水路径上覆水

的 TIN 浓度变化不显著, NO_3^- -N浓度有下降趋势, NH_4^+ -N浓度升高. 沿调水路径,上覆水 NO_3^- -N和 NH_4^+ -N浓度的变化受 DO 与高锰酸盐指数影响.

- (3)内河河段沉积物具有很大的耗氧潜力,间隙水水中NH₄⁺-N浓度较高;沉积物内源NH₄⁺-N释放是上覆水NH₄⁺-N的一个重要来源;由沉积物富含耗氧物质形成的缺氧环境是沉积物内源NH₄⁺-N加速释放并在上覆水累积的一个重要因素.
- (4)水资源调度对沉积物内源NH₄⁺-N的释放影响不显著;通过水量置换可以带走沉积物释放到上覆水中的部分NH₄⁺-N,从而降低上覆水NH₄⁺-N浓度,根据实际情况适当增加深度置换频率可以削减河道氮素污染负荷.从区域氮污染控制来看,在通过水资源调度减轻上覆水氮污染负荷的同时,还应加强流经河道的内源污染治理工作.

参考文献:

- [1] 刘昌明. 中国水资源调配若干问题的探讨[J]. 科学对社会的影响, 1996, **16**(2): 1-11.
- [2] 阮仁良. 平原河网地区水资源调度改善水质的机理和实践研究[D]. 上海: 华东师范大学, 2003. 1-5.
- [3] 黄锡荃.上海市水资源调度的水环境效应[A].见:中国地理学会水文专业委员会第七次全国水文学术会议[C]. 1999.113-118.
- [4] 蔡浚, 王春树, 王卫. 开展水资源引清调度对改善河道水环境的探讨[J]. 中国水利, 2011, **62**(7); 39-41.
- [5] Eggleton J, Thomas K V. A review of factors affecting the release and bioavailability of contaminants during sediment disturbance events [J]. Environment International, 2004, 30(7): 973-980.
- [6] 邢雅囡, 阮晓红, 赵振华. 城市重污染河道环境因子对底质 氮释放影响[J]. 水科学进展, 2010, **21**(1): 120-126.
- [7] Lu X M, Huang M S. Nitrogen and phosphorus removal and physiological response in aquatic plants under aeration conditions [J]. International Journal of Environmental Science and Technology, 2010, 7(4): 665-674.
- [8] Rabalais N N. Nitrogen in aquatic ecosystems [J]. AMBIO A Journal of the Human Environment, 2002, 31(2): 102-112
- [9] Trimmer M, Grey J, Heppell C M, et al. River bed carbon and nitrogen cycling: State of play and some new directions [J]. Science of the Total Environment, 2012, 434(1): 143-158.
- [10] 卢士强,徐祖信,罗海林,等.上海市主要河流调水方案的水质影响分析[J].河海大学学报(自然科学版),2006,34(1):32-36.
- [11] 童朝锋,岳亮亮,郝嘉凌,等.南京市外秦淮河水质模拟及引调水效果[J].水资源保护,2012,**28**(6):49-54.
- [12] 徐贵泉, 陈长太, 唐迎洲, 等. 上海市水资源调度现状的分析评估[J]. 水资源保护, 2013, **29**(1): 51-54.
- [13] 国家环境保护总局. 水和废水监测分析方法[M]. (第四版). 北京: 中国环境科学出版社, 2002. 223-284.
- [14] 鲁如坤. 土壤农业化学分析方法[M]. 北京: 中国农业科技

- 出版社, 2000. 108-110.
- [15] 古小治, 王强, 张雷, 等. 物理改良对湖泊沉积物和间隙水特征的影响[J]. 中国环境科学, 2010, **30**(2): 256-262.
- [16] 沈建, 陈建标, 肖玉兵. 南通市高水系引江调水水质改善分析与方案优化[J]. 人民长江, 2012, **43**(10): 72-74.
- [17] 侯立军,刘敏,许世远,等.长江河口近岸硝态氮的削减途径与归宿[A].见:自然地理学与生态安全学术研讨会[C]. 兰州,2012.48-49.
- [18] 江涛, 俞志明, 宋秀贤, 等. 长江水体溶解态无机氮和磷现状及长期变化特点[J]. 海洋与湖沼, 2012, **43**(6): 1067-1075.
- [19] Dodds W K, Evans-White M A, Gerlanc N M, et al.

 Quantification of the nitrogen cycle in a prairie stream [J].

 Ecosystems, 2000, 3(6): 574-589.
- [20] Holmes R, Jones JB Jr, Fisher S G, et al. Denitrification in a nitrogen-limited stream ecosystem [J]. Biogeochemistry, 1996, 33(2): 125-146.
- [21] Laursen A E, Seitzinger S P. Diurnal patterns of denitrification, oxygen consumption and nitrous oxide production in rivers measured at the whole-reach scale [J]. Freshwater Biology, 2004, 49(11): 1448-1458.
- [22] Beaulieu J J, Tank J L, Hamilton S K, et al. Nitrous oxide emission from denitrification in stream and river networks [J]. Proceedings of the National Academy of Sciences of the United States of America, 2011, 108(1): 214-219.
- [23] Austin B J, Strauss E A. Nitrification and denitrification response to varying periods of desiccation and inundation in a western Kansas stream[J]. Hydrobiologia, 2011, 658(1): 183-195.

[24] 田文华, 文湘华, 钱易. 沸石滤料曝气生物滤池去除 COD 和 氨氮[J]. 中国给水排水, 2002, **18**(12): 13-15.

学

- [25] 范成新,张路,秦伯强,等.太湖沉积物-水界面生源要素迁移机制及定量化-1. 铵态氮释放速率的空间差异及源-汇通量[J]. 湖泊科学,2004,16(1):10-20.
- [26] 刘波,王国祥,王风贺,等. 不同曝气方式对城市重污染河道水体氮素迁移与转化的影响[J]. 环境科学,2011,32 (10):2971-2978.
- [27] Courchaine R J. Significance of nitrification in stream analysis: Effects on the oxygen balance [J]. Journal of Water Pollution Control Federation, 1968, 40(5): 835-847.
- [28] Pauer J J, Auer M T. Nitrification in the water column and sediment of a hypereutrophic lake and adjoining river system[J]. Water Research, 2000, 34(4): 1247-1254.
- [29] 王圣瑞,赵海超,王娟,等. 有机质对湖泊沉积物不同形态 氮释放动力学影响研究[J]. 环境科学学报,2012,32(2):332-340.
- [30] 赵兴青,杨柳燕,于振洋,等.太湖沉积物理化性质及营养盐的时空变化[J].湖泊科学,2007,19(6):698-704.
- [31] Morse J W, Morin J. Ammonium interaction with coastal marine sediments; influence of redox conditions on K^* [J]. Marine Chemistry, 2005, **95**(1-2); 107-112.
- [32] Cowan J L W, Boynton W R. Sediment-water oxygen and nutrient exchanges along the longitudinal axis of Chesapeake Bay: Seasonal patterns, controlling factors and ecological significance [J]. Estuaries, 1996, 19(3): 562-580.
- [33] 吴群河,曾学云,黄钥.溶解氧对河流底泥中三氮释放的影响[J]. 环境污染与防治,2005,27(1);21-24,52.

Environmental Science (monthly)

Vol. 35 No. 9 Sep. 15, 2014

CONTENTS

Comparative Analysis Methods of Haze Distinction over Yangtze River Delta Region	n)
Trends of Urban Haze in Jiangsu Province China over the Past 33 Years LIU Duan-yang, WEI Jian-su, YAN Wen-lian, et al. (3247)	
Temporal Variation of Background Atmospheric CO ₂ and CH ₄ at Mount Waliguan, China LIU Peng, ZHANG Guo-qing, WANG Jian-qiong, et al. (3256)	
Characteristics and Sources of Organic Carbon and Elemental Carbon in PM _{2.5} in Shanghai Urban Area ZHANG Yi-hua, WANG Dong-fang, ZHAO Qian-biao, et al. (3263)	
Size Distribution and Characterization of OC and EC in Atmospheric Aerosols During the Asian Youth Games of Nanjing, China	
Pollution Characteristics of Carbonaceous Aerosols in PM _{2.5} During Typical Winter Days in Wuxi City	
Emission Characteristics of PM _{2,5} from Blast Furnace Iron Making	
Composition Characteristics of Atmospheric Volatile Organic Compounds in the Urban Area of Beibei District, Chongqing	
Catalytic Oxidation of Two-component VOCs and Kinetic Analysis BO Long-li, YANG Li, SUN Jian-yu, et al. (3302)	
Ultrafine Particle Number Concentration and Size Distribution of Vehicle Exhaust Ultrafine Particles	
Major Ion Chemistry of Surface Water in the Upper Reach of Shule River Basin and the Possible Controls	
Sediment-water Flux and Processes of Nutrients and Gaseous Nitrogen Release in a China River Reservoir	
Spatial Distribution and Pollution Assessment of Heavy Metals in the Tidal Reach and Its Adjacent Sea Estuary of Daliaohe Area, China ZHANG Lei, QIN Yan-wen, MA Ying-qun, et al. (3336)	,
Chemical Speciation and Risk Assessment of Heavy Metals in the Middle Part of Yarlung Zangbo Surface Sediments	
Analysis of Particle Size Characteristics of Road Sediments in Beijing Olympic Park	
Levels and Distribution of the Dioxin-Like Polychlorinated Biphenyls (PCBs) in the Surface Sediment of the Yellow River	3)
Characteristics of Nitrogen and Phosphorus Retention in Two Different Channel Forms in a Typical Headwater Stream in the Suburb of Hefei City, China	
LI Ru-zhong, YANG Ji-wei, QIAN Jing, et al. (3365	5)
Migration and Transformation of Nitrogen in Urban Stream Located in Plain River-net Area Based on Water Resources Regulation	
LIU Bo, SHENG Ming, ZHU Qiang, et al. (3373	
Decomposition and Phosphorus Dynamics of the Litters in Standing and Litterbag of the Hangzhou Bay Coastal Wetland	
Muti-model Collaborative Retrieval of Chlorophyll a in Taihu Lake Based on Data Assimilation	9)
Photobleaching of Dissolved Organic Matter (DOM) from Confluence of Two Rivers Under Natural Solar Radiation: A Case Study of Fujiang River-Jialingjiang River	
GAO Jie, JIANG Tao, YAN Jin-long, et al. (3397	7)
Using Ultraviolet-Visible (UV-Vis) Absorption Spectrum to Estimate the Dissolved Organic Matter (DOM) Concentration in Water, Soils and Sediments of Typical Water-Level Fluctuation	
Zones of the Three Gorges Reservoir Areas LI Lu-lu_, JIANG Tao, LU Song, et al. (3408	3)
Synthesis of Cu ₂ O-Ag-AgBr/MA Visible Photocatalyst and Its Performance in Degradation of 2-Chlorophenol	7)
Effects of Particle Size of Zero-Valent Iron on the Reactivity of Activating Persulfate and Kinetics for the Degradation of Acid Orange 7	
LI Huan-xuan, WAN Jin-quan, MA Yong-wen, et al. (3422	2)
Degradation of 2,4-D by Combined Catalytic Dechlorination and Biological Oxidation	
Treatment of Marine-Aquaculture Effluent by the Multi-Soil-Layer (MSL) System and Subsurface Flow Constructed Wetland	
Variation of Different Carbon Sources in the Sewage Treatment Process JIN Peng-kang, CHANG Jin, WANG Xian-bao, et al. (3443)	
Effect of Gas-lift Device on Nitrogen Removal Efficiency of ANAMMOX Reactor LI Xiang, ZHANG Da-lin, HUANG Yong, et al. (3449)	
Enhancement for Anaerobic Digestion of Sewage Sludge Pretreated by Microwave and Its Combined Processes LIU Ji-bao, NI Xiao-tang, WEI Yuan-song, et al. (3455)	
Pilot Study of Thermal Treatment/Thermophilic Anaerobic Digestion Process Treating Waste Activated Sludge of High Solid Content WU Jing, WANG Guang-qi, CAO Zhi-ping, et al. (3461	
Effects of Temperature on Combined Process of ABR and MBR for Domestic Sewage Treatment and Analysis of Microbial Community WU Peng, LU Shuang-jun, XU Yue-zhong, et al. (3466	
Microbial Community of Municipal Discharges in A Sewage Treatment Plant	
Pilot-Scale Cultivation of Spirulina plantensis with Digested Piggery Wastewater	
Spectral Characteristics of Soluble Metabolites During Endogenous Respiration Li Zhi-hua, ZHANG Qin, BAI Xu-li, et al. (3487)	
Endogenous Respiration Process Analysis of Heterotrophic Biomass and Autotrophic Biomass Based on Respiration Map Li Zhi-hua, BAI Xu-li, ZHANG Qin, et al. (3492)	
Influence of S-Metolachlor and Cd ²⁺ on Photosynthesis of Scenedesmus obliquus	
Effect of Environmental Factors on Fish Community Structure in the Huntai River Basin at Multiple Scales LI Yan-lin, LI Yan-len, XU Zong-xue (3504)	
Succession of Rotifer Community and Its Relationship with Environmental Factors in a New Estuarial Landscape River, Shanghai	
Anaerobic Reduction of Humus/Fe(III) and Electron Transport Mechanism of Fontibacter sp. SgZ-2	
Source Apportionment of Soil Heavy Metals in Jiapigou Goldmine Based on the UNMIX Model	
Environmental Magnetic Properties and Their Spatial Variability of Topsoil in Shihezi City YANG Han, XIONG Hei-gang, CHEN Xue-gang (3537)	
Effects of Different Amounts of Phosphate Fertilizers on Copper, Zinc Transfer in Red Soil Under the Application of KH ₂ PO ₄	
Influence of Sulfur on the Bioavailability of Arsenic Uptake by Rice (<i>Oryza. sativa</i> L.) and Its Speciation in Soil	
Effects of Sulfur on Transformation of Selenium in Soil and Uptake of Selenium in Rape LIU Xin-wei, DUAN Bi-hui, XIA Quan-jie, et al. (3564)	
Impact of Reclaimed Water Irrigation on Soil Chemical Properties and Culturable Microorganisms	۷)
Influence of Different Slope Position and Profile in Disporopsis pernyi Forest Land on Soil Microbial Biomass and Enzyme Activity in Southwest Karst Mountain of China	0.)
QIN Hua-Jun, HE Bing-Hui, ZHAO Xuan-chi, et al. (3580))
Effects of Different Soil Types on the Foliar δ ¹³ C Values of Common Local Plant Species in Karst Rocky Desertification Area in Central Guizhou Province	- \
DU Xue-lian, WANG Shi-jie, LUO Xu-qiang (3587	
Effect of Carbon Substrate Concentration on N2, N20, NO, CO2 and CH4 Emissions from a Paddy Soil in Anaerobic Condition	
Ability of Typical Greenery Shrubs of Beijing to Adsorb and Arrest PM _{2.5}	
Effects of Chlorides on Cd Transformation in a Simulated Grate Incinerator During Sludge Incineration Process	2)
Spatial Temporal Differentiation of Product-based and Consumption-based CO ₂ Emissions and Balance in the Beijing-Tianjin-Hebei Region; an Economic Input-Output Analysis	
WANG Hao, CHEN Cao-cao, PAN Tao, et al. (3619	
Study on Feasible Emission Control Level of Air Pollutions for Cement Industry	2)

《环境科学》第6届编辑委员会

主 编:欧阳自远

副主编:赵景柱 郝吉明 田 刚

编 委: (按姓氏笔画排序)

万国江 王华聪 王凯军 王绪绪 田 刚 田 静 史培军

朱永官 刘志培 汤鸿霄 陈吉宁 孟 伟 周宗灿 林金明

欧阳自远 赵景柱 姜 林 郝郑平 郝吉明 聂永丰 黄 霞

黄耀 鲍强潘纲潘涛魏复盛

环龙种草

(HUANJING KEXUE)

(月刊 1976年8月创刊) 2014年9月15日 第35卷 第9期

ENVIRONMENTAL SCIENCE

(Monthly Started in 1976)
Vol. 35 No. 9 Sep. 15, 2014

		,			
主	管	中国科学院	Superintended	by	Chinese Academy of Sciences
主	办	中国科学院生态环境研究中心	Sponsored	by	Research Center for Eco-Environmental Sciences, Chinese
协	办	(以参加先后为序)			Academy of Sciences
		北京市环境保护科学研究院	Co-Sponsored	by	Beijing Municipal Research Institute of Environmental
		清华大学环境学院			Protection
主	编	欧阳自远			School of Environment, Tsinghua University
编	辑	《环境科学》编辑委员会	Editor-in -Chief	•	OUYANG Zi-yuan
-m	7-4	北京市 2871 信箱(海淀区双清路	Edited	by	The Editorial Board of Environmental Science (HUANJING
		18号,邮政编码:100085)			KEXUE)
		电话:010-62941102,010-62849343			P. O. Box 2871, Beijing 100085, China
		传真:010-62849343			Tel:010-62941102,010-62849343; Fax:010-62849343
		E-mail; hjkx@ rees. ac. cn			E-mail; hjkx@ rcees. ac. cn
		http://www.hjkx.ac.cn			http://www. hjkx. ac. cn
出	版	4 星 虫 版 社	Published	by	Science Press
щ	742	北京东黄城根北街 16 号			16 Donghuangchenggen North Street,
		邮政编码:100717			Beijing 100717, China
印刷装	ŧ订	北京北林印刷厂	Printed	by	Beijing Bei Lin Printing House
发	行	斜望出版社	Distributed	by	Science Press
		电话:010-64017032			Tel:010-64017032
		E-mail: journal@ mail. sciencep. com			E-mail:journal@mail.sciencep.com
订 购	处	全国各地邮电局	Domestic		All Local Post Offices in China
国外总统	发行	中国国际图书贸易总公司	Foreign		China International Book Trading Corporation (Guoji
		(北京 399 信箱)			Shudian), P. O. Box 399, Beijing 100044, China

中国标准刊号: $\frac{ISSN}{CN}$ 0250-3301 $\frac{11-1895/X}{11}$

国内邮发代号: 2-821

国内定价:90.00元

国外发行代号: M 205

国内外公开发行